

4.3 СВИ для аудиосигналов

1

(A) Обзор (давно
известных)
специализированных
СВИ для аудио

2

НЗБ-метод и СВИ (Свејіс)

3

- НЗБ для аудио: 2-3 бита – нормально
- СВИ (Свејіс): до 4-5 бит на отсчёт
- 3-шаговый подход:
 - 1) Стандартное встраивание в 4 НЗБ непосредственной заменой бит
 - 2) Замена старшего бита с минимизацией ошибки
 - 3) Диффузия ошибки встраивания ЦВЗ

СВИ (Сvejic). Принцип замены старшего бита

4

- Пусть мы встроили k бит ($k < 16$), тогда $\varepsilon_{max} \leq 2^k - 1$
- $C(n)$ – исходный отсчёт сигнала
- Два варианта $C^W(n)$:
 - $C_{LSB}(n)$ – результат прямого НЗБ-встраивания
 - $C'_{LSB}(n)$ – НЗБ + замена $(k + 1)$ -го бита
- Расчёт ошибки и выбор варианта
 - $e(n) = |C(n) - C_{LSB}|, e'(n) = |C(n) - C'_{LSB}(n)|$
 - $e(n) \leq e'(n) \rightarrow C^W(n) = C_{LSB}(n)$
 - $e(n) > e'(n) \rightarrow C^W(n) = C'_{LSB}(n)$
- Итог: было $\varepsilon_{max} = 2^k - 1$, стало $\varepsilon'_{max} = 2^{k-1}$

СВИ (Cvejic). Процедура диффузии ошибки

5

- $C(n + 1) := C(n + 1) + \frac{1}{2}e(n)$
- $C(n + 2) := C(n + 2) + \frac{1}{4}e(n)$
- $C(n + 3) := C(n + 3) + \frac{1}{8}e(n)$
- $C(n + 4) := C(n + 4) + \frac{1}{8}e(n)$

СВИ (Bender-1, метод фазового кодирования)

6

- Слуховая система человека более чувствительна к изменению амплитуды сигнала, нежели фазы
- Модификация фазы тем более незаметна, если сохраняется характер её изменения во времени
- Основная идея метода фазового кодирования состоит в замене фазы исходного сегмента на опорную фазу, характер изменения которой отражает собой данные, которые необходимо скрыть

СВИ (Bender-1). Встраивание информации

7

- $C(n), 0 \leq n \leq N - 1$
- Сигнал разбивается на K коротких сегментов $c_k(n), k = 0..K - 1, n = 0..N/K - 1$
- К каждому сегменту применяется ДПФ (N/K -точечные). Далее выделяется фаза - $\varphi_k(m)$ и амплитуда $A_k(m), m = 0..N/K - 1, k = 0..K - 1$
- Запоминается разность фаз между соседними сегментами:
$$\Delta\varphi_k(m) = \varphi_{k+1}(m) - \varphi_k(m), k = 0..K - 2$$

СВИ (Bender-1). Встраивание информации

8

- Бинарный вектор, подлежащий встраиванию, представляется в виде ступенчатой функции $W(m)$ в частотной области со ступеньками в $\frac{\pi}{2}$ или $-\frac{\pi}{2}$.

$$W(m) = (-1)^{b_m} \pi/2, \quad \forall m = 0..N/K$$

- Заменяем начальную фазу

$$\varphi_0^W(m) = W(m) \quad \forall m = 0..N/K$$

- Сбор фазы сигнала по φ_0^W и $\Delta\varphi_k(m)$:

$$\varphi_1^W(m) = \varphi_0^W(m) + \Delta\varphi_0(m)$$

...

$$\varphi_{K-1}^W(m) = \varphi_{K-2}^W(m) + \Delta\varphi_{K-1}(m)$$

- Собираем исходную амплитуду и новую фазу и делаем обратное ДПФ

СВИ (Bender-1). Итого

9

- Для извлечения нужны:
 - Синхронизация сигнала
 - Длина сегмента N/K
- Пропускная способность метода – 8-32 бит/с – сравнительно небольшая
- Принципиально иной подход, не применяющийся в СВИ для изображений

СВИ (Bender-2, метод на основе эхо-сигнала)

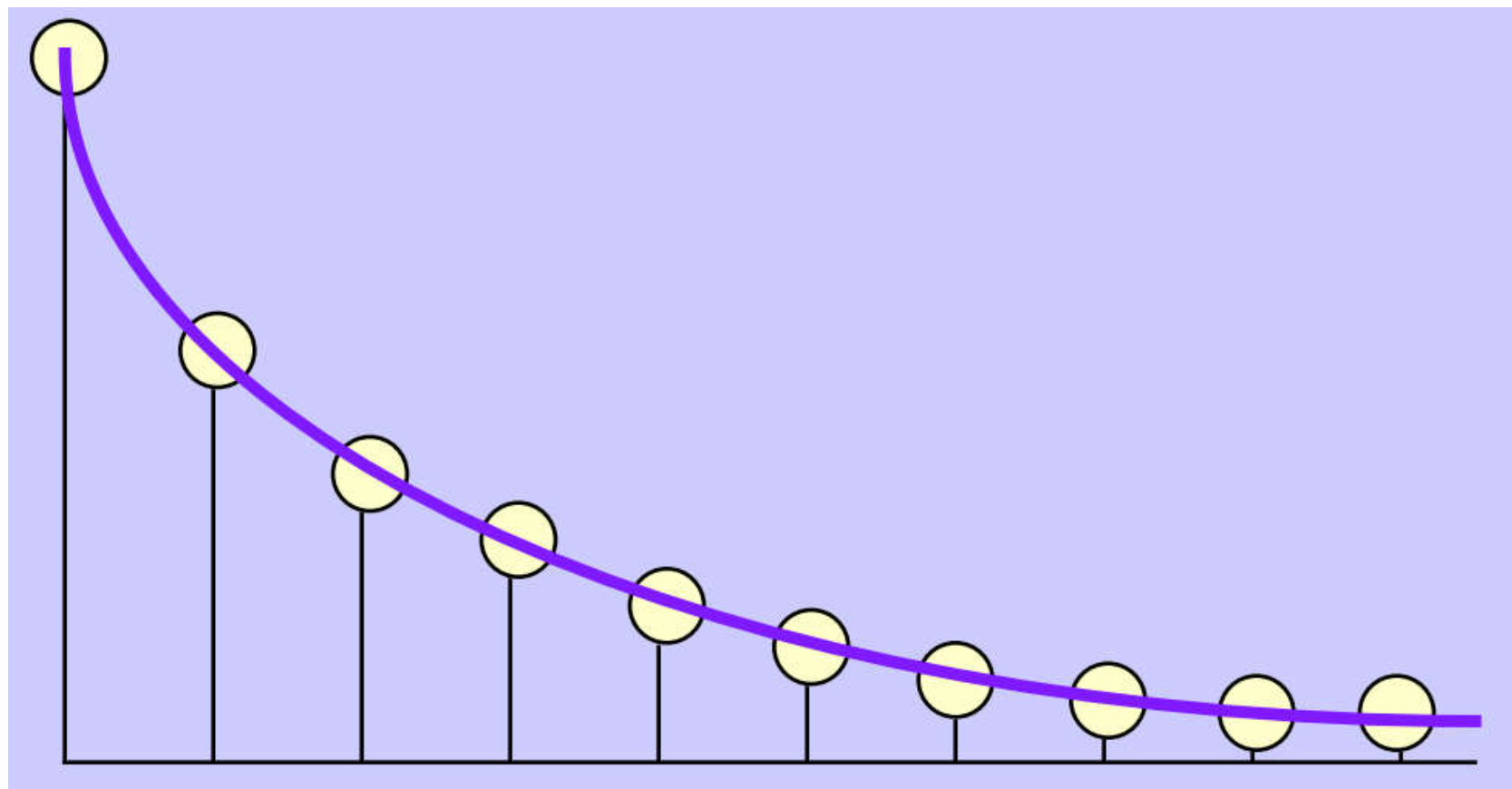
10

- Метод заключается во встраивании секретной информации в аудио контейнер путем добавления эхо-сигнала
- Идея метода состоит в том, что при малом сдвиге одного сигнала относительно другого, человек воспринимает два сигнала как один, а эхо воспринимается как дополнительный резонанс
- При сдвиге $T=0,001$ секунды два сигнала сливаются в один

СВИ (Bender-2). Основы

11

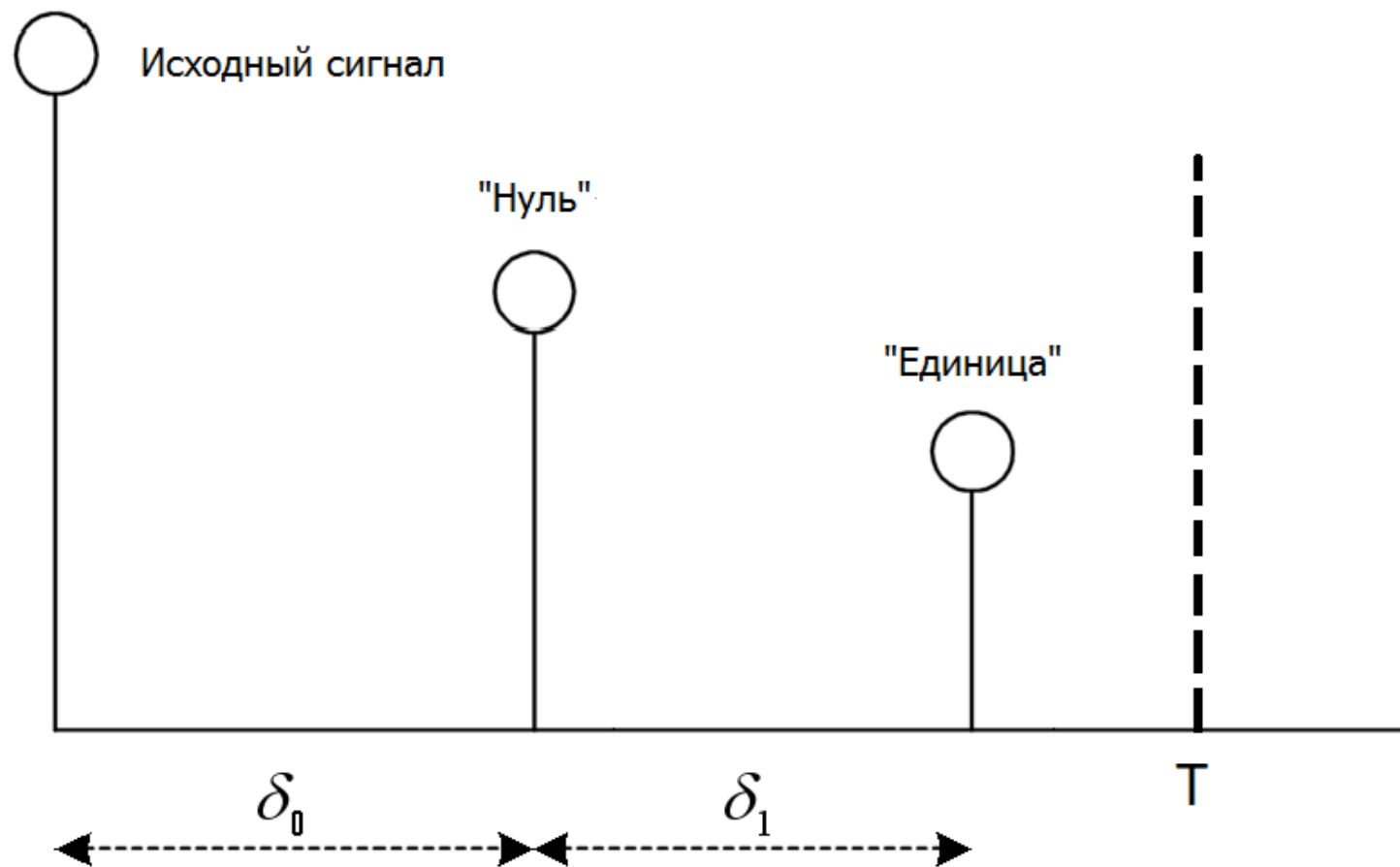
- Натуральный сигнал затухает по экспоненциальному закону
- Значит искусственные эхо-сигналы должны соответствовать этой модели



СВИ (Bender-2). Основы

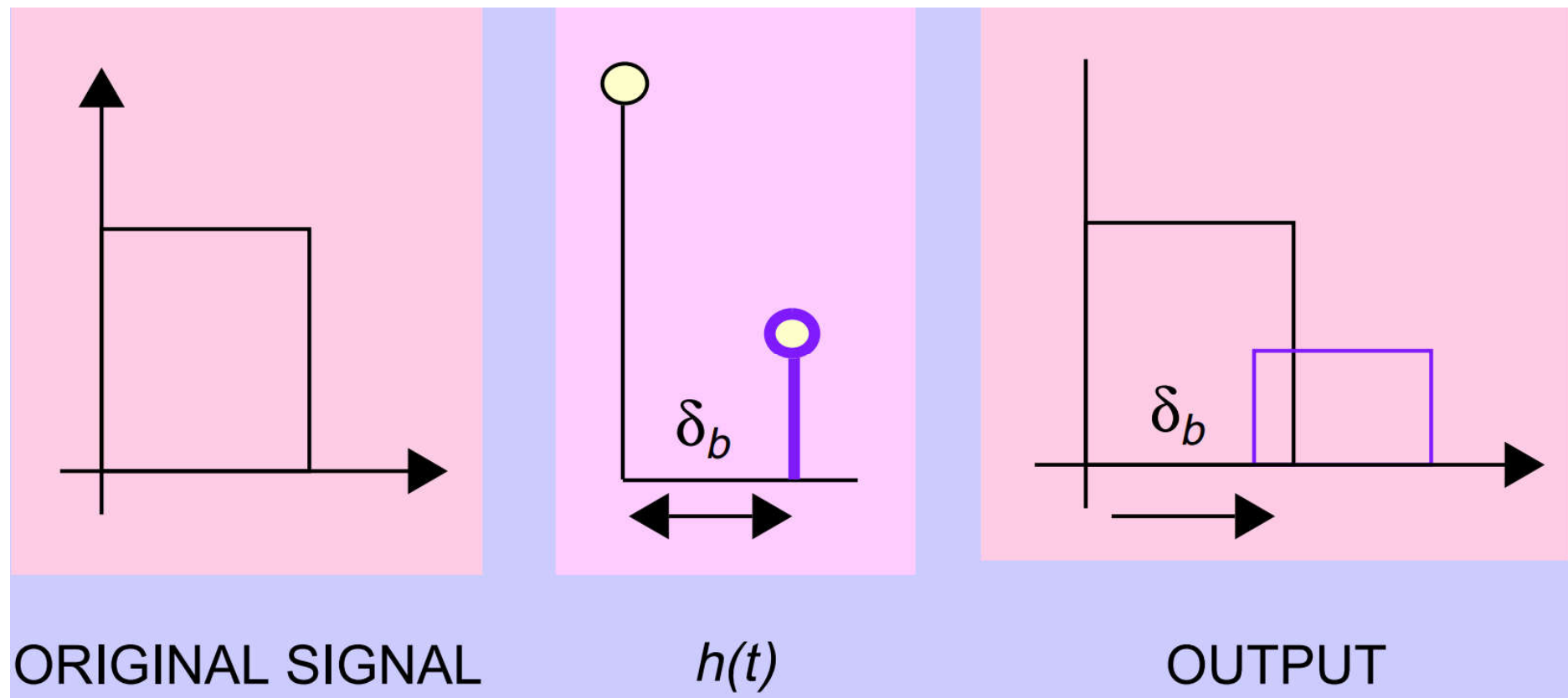
12

- Принцип кодирования встраиваемой скрытой информации: два разных эхо-сигнала, отличающихся сдвигом δ_b , $b = \{0; 1\}$.



СВИ (Bender-2). Формирование эхо-сигнала

13

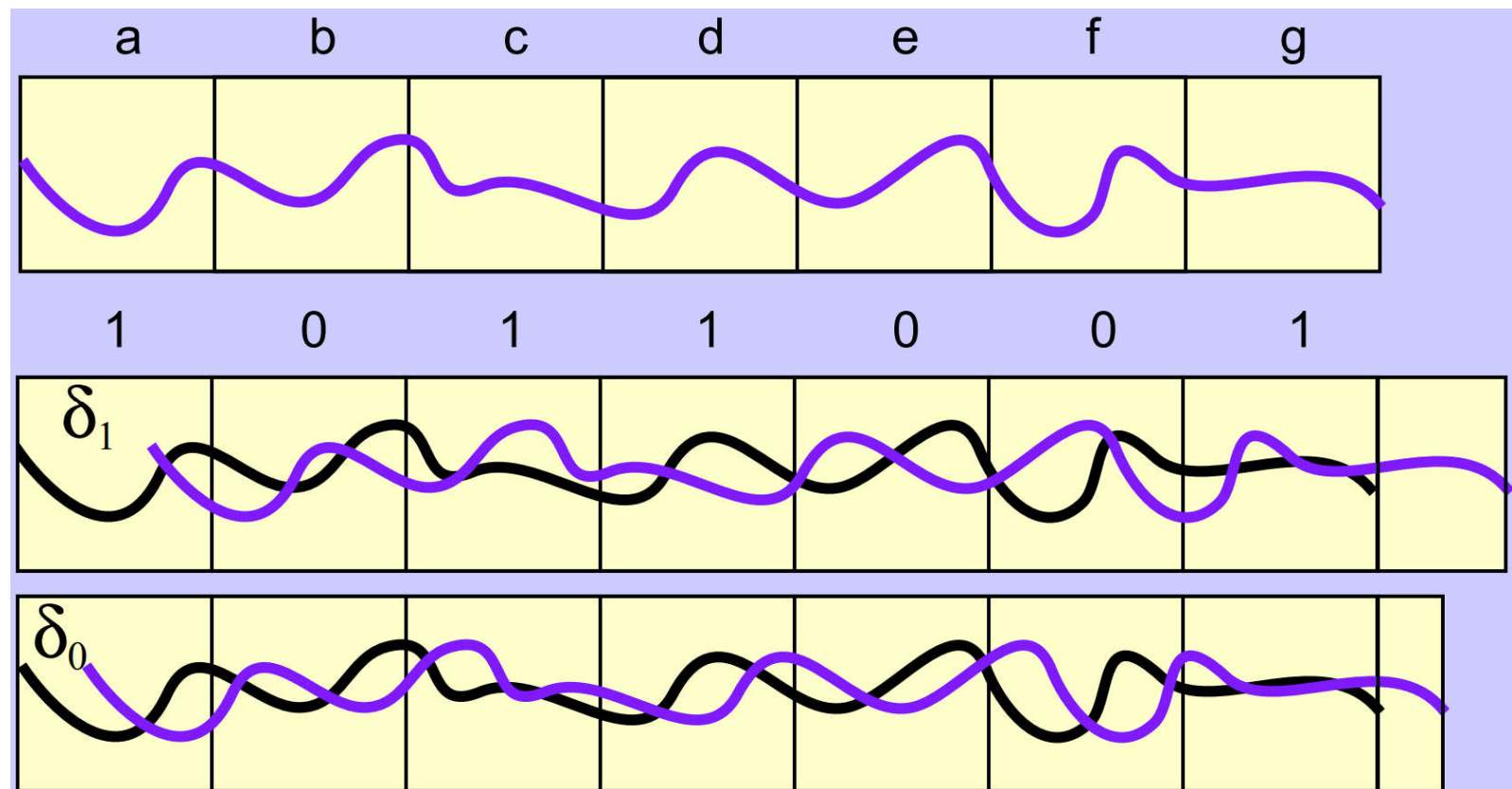


СВИ (Bender-2). Формирование эхо-сигнала

14

- Сигнал разделяется на фрагменты, в которые встраивается один бит:

- $C(n)$



- $C_1(n)$

- $C_0(n)$

СВИ (Bender-2). Встраивание

15

- Итоговое встраивание

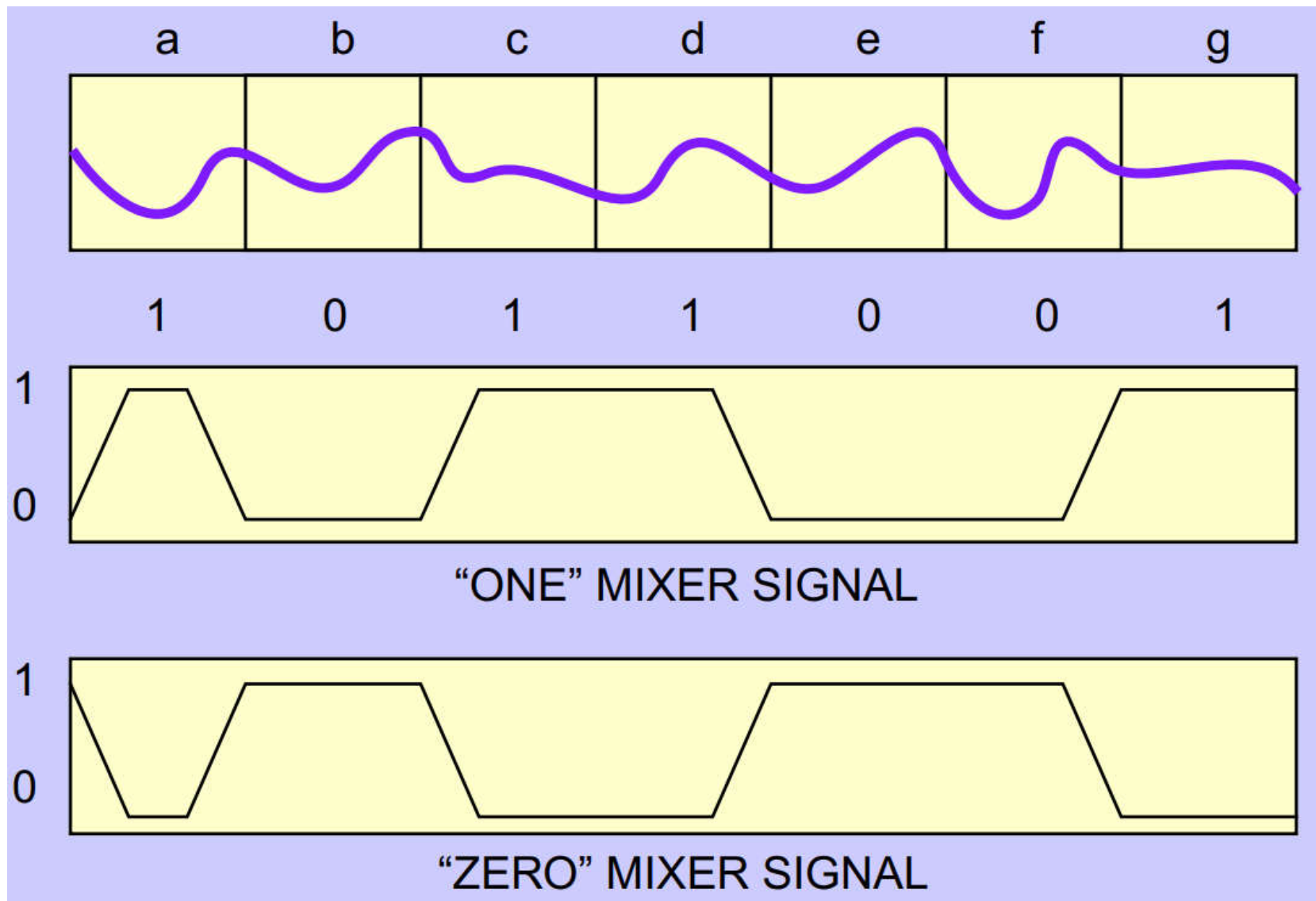
$$C^W(n) = C(n) + \alpha_0 \cdot zero(n) \cdot C_0(n) + \alpha_1 \cdot one(n) \cdot C_1(n),$$

- где

- $one(n) = 1 - zero(n)$,
 - α_0, α_1 устанавливаются совместно на основе значений сдвигов δ_0, δ_1 и параметров затухания

СВИ (Bender-2). Встраивание

16



СВИ (Bender-2). Извлечение

17

- Кепстр сигнала:

$$K = \mathcal{F}^{-1} \left(\ln \left(\mathcal{F}(\widetilde{C^W}) \right)^2 \right)$$

- Расчёт автокорреляционной функции кепстера
- Это нужно для выравнивания спектра (он быстро затухает). Поэтому АКФ кепстера предпочтительнее, чем АКФ самого сигнала.
- Поиск двух локальных всплесков АКФ – отыскание δ_0, δ_1
- На каждом фрагменте корреляция K с двумя сдвинутыми копиями на δ_0, δ_1 . Выбор значения бита по максимуму
- Пропускная способность метода – около 16 бит/с при сохранении высокого качества

(В) Сравнительное
экспериментальное
исследование
применительно к МРЗ

Экспериментальное исследование. Постановка задачи. Исследуемые методы.

19

Цель – сравнить различные по принципу работы СВИ для аудио по пропускной способности, стойкости к MP3-сжатию, качеству результирующего аудио.

Метод НЗБ:

- использует один отсчет для передачи одного бита встроенной информации;
- параметр: номер затрагиваемой битовой плоскости.

Метод "Patchwork":

- использует множество отсчетов для передачи одного бита информации;
- параметры:
 - L – количество отсчетов, передающих один бит встроенной информации;
 - k – коэффициент, определяющий долю отсчетов, подлежащих изменению;
 - α – коэффициент, определяющий величину изменения отсчетов.

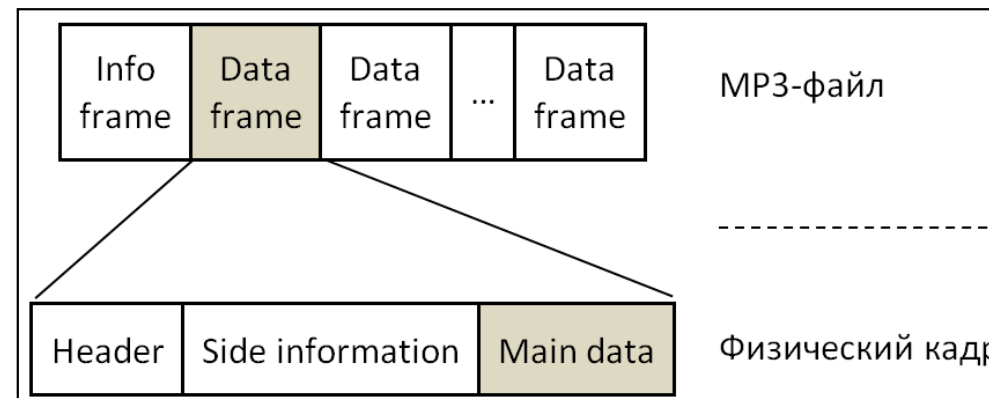
Формато-зависимый метод:

- использует области файла, которые не несут аудиоинформации.

Структура MP3-файла как основа формато-зависимого метода

20

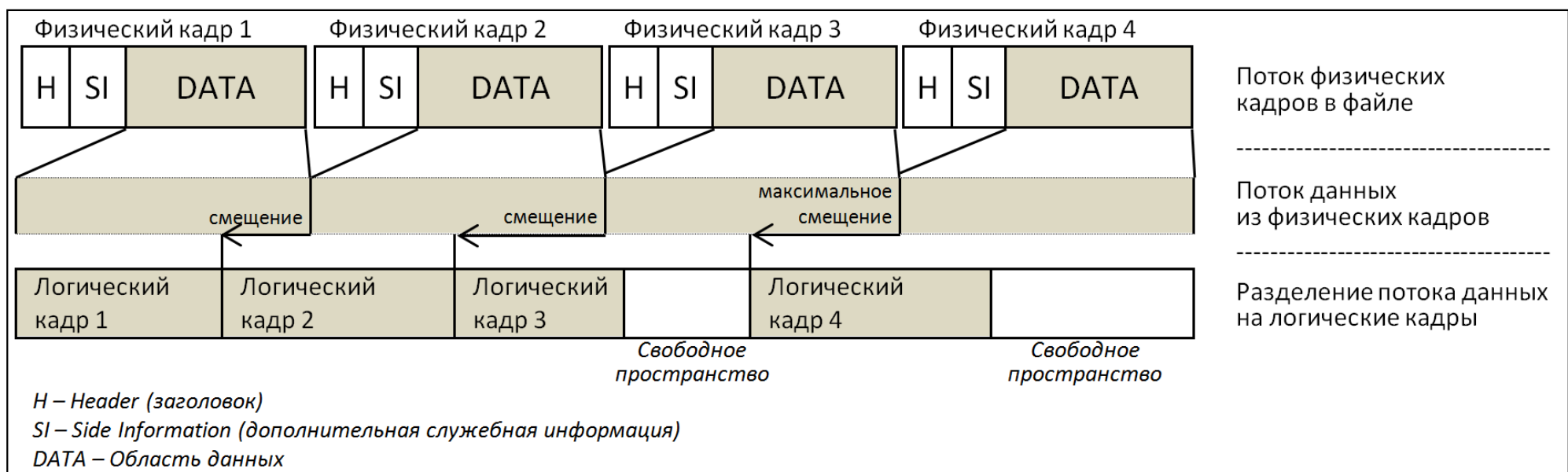
- Главные этапы алгоритма преобразования: переход в спектральную область; фильтрация спектральных компонент; переквантование; масштабирование; кодирование Хаффмана.
- Длина логического кадра – 576 отсчётов – фиксирована
- Длина кода Хаффмана после квантования переменная. Этот код пишется в поле **Main data**.
- К каждому кадру прилагается служебная информация для декодирования: **Header** (4 байта) и **Side Information** (17/32 байта).
- Длина физического кадра в режиме CBR фиксирована: 626 байт, включая **Header** и **Side Information**.



Структура MP3-файла как основа формато-зависимого метода

21

- Чтобы не возникало в каждом кадре неиспользуемое пространство, разделяют физические/логические кадры и применяют сдвиги
- Текущий физ. кадр содержит Header и SI по текущему логическому кадру, но данные его могут уже начаться в Main data предыдущего физического кадра.
- Смещение записано в SI, но это максимум 511 байт. Если данные предыдущего кадра закончились раньше, до всё-таки возникает незаполненное пространство.



Формато-зависимый метод

22

Порядок функционирования:

- Расчёт всех смещений логических кадров
- Восстановление последовательности отрезков кадров, не содержащих данные
- Последовательное заполнение этих отрезков встраиваемой информацией.

Свойства

- Полноты стеганографической защиты нет
- При анализе файла отсутствие пустых областей будет очевидным
- + Эту проблему можно решить неполным заполнением контейнера: встраивание можно производить только в начало свободных областей
- Однако это не проблема для умного злоумышленника
- При перекодировании вся встроенная информация будет потеряна
- + Полное отсутствие искажений
- + Гарантия извлечения из MP3
- + Относительно большой объём встраивания и скрытость от посторонних глаз

Критерии для сравнения методов

23

- Объем встраивания:
 - скорость передачи встроенной информации (VD, Volume of Data);
 - доля контейнера, занимаемая встроенными битами;
- точность извлечения;
- качество аудио после встраивания:
 - PSNR, пиковое соотношение сигнал-шум;
 - MSE-HAS, частотно-взвешенный среднеквадратичный показатель.

$$PSNR(u, v) = 10 \lg \frac{\sup u(n)}{\varepsilon_{\text{KB}}^2(u, v)},$$

где $\sup u(n)$ – максимально возможное значение сигнала $u(n)$;
 $\varepsilon_{\text{KB}}^2(u, v)$ – среднеквадратичная ошибка для сигналов u и v .

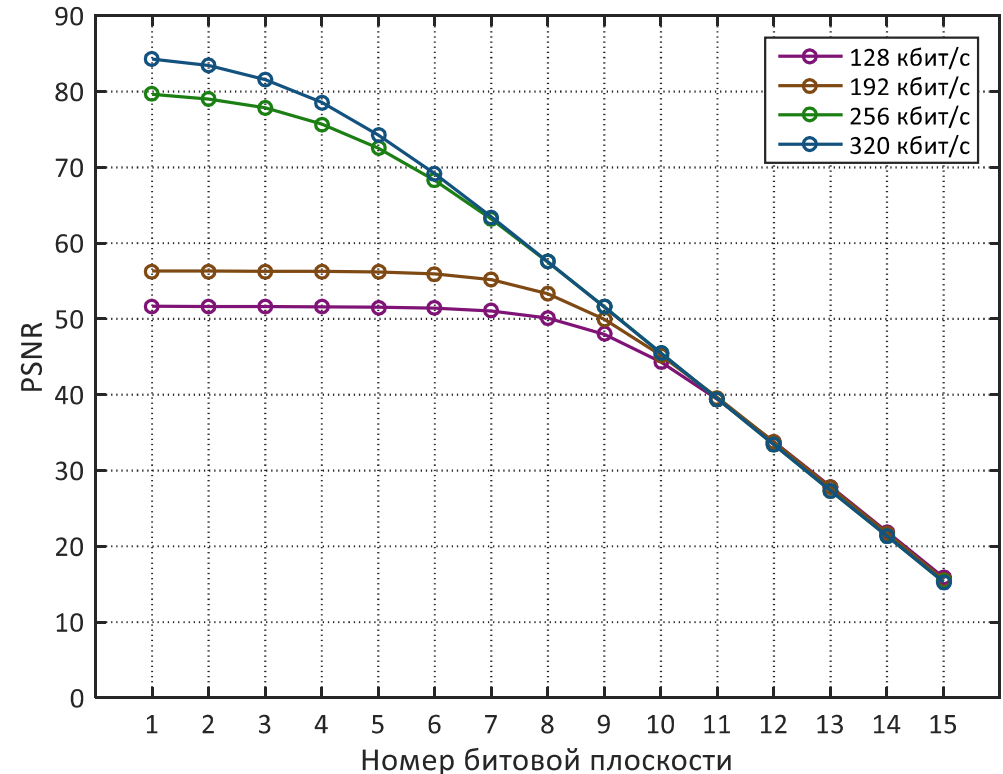
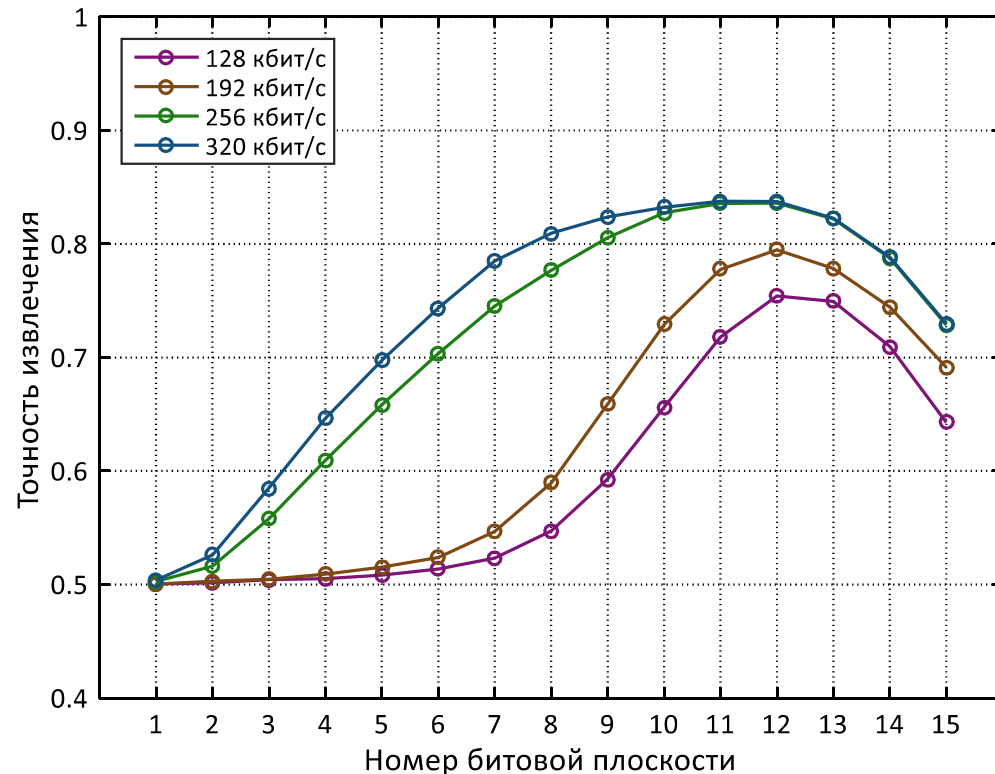
$$MSE_HAS = \frac{1}{N} \sum_{n=0}^{N-1} W(\omega_n) \times \frac{1}{M} \sum_{m=0}^{M-1} |E(m, e^{i\omega_n})|^2,$$

где N – количество частотных интервалов;
 $W(\omega_n)$ – неотрицательная весовая функция;
 M – количество временных интервалов;
 $E(m, e^{i\omega_n})$ – кратковременный спектр разностного сигнала

Исследование метода НЗБ

24

Графики зависимости точности извлечения и критерия качества PSNR от номера затрагиваемой битовой плоскости для файлов с разными битрейтами.



1 - младшая битовая плоскость

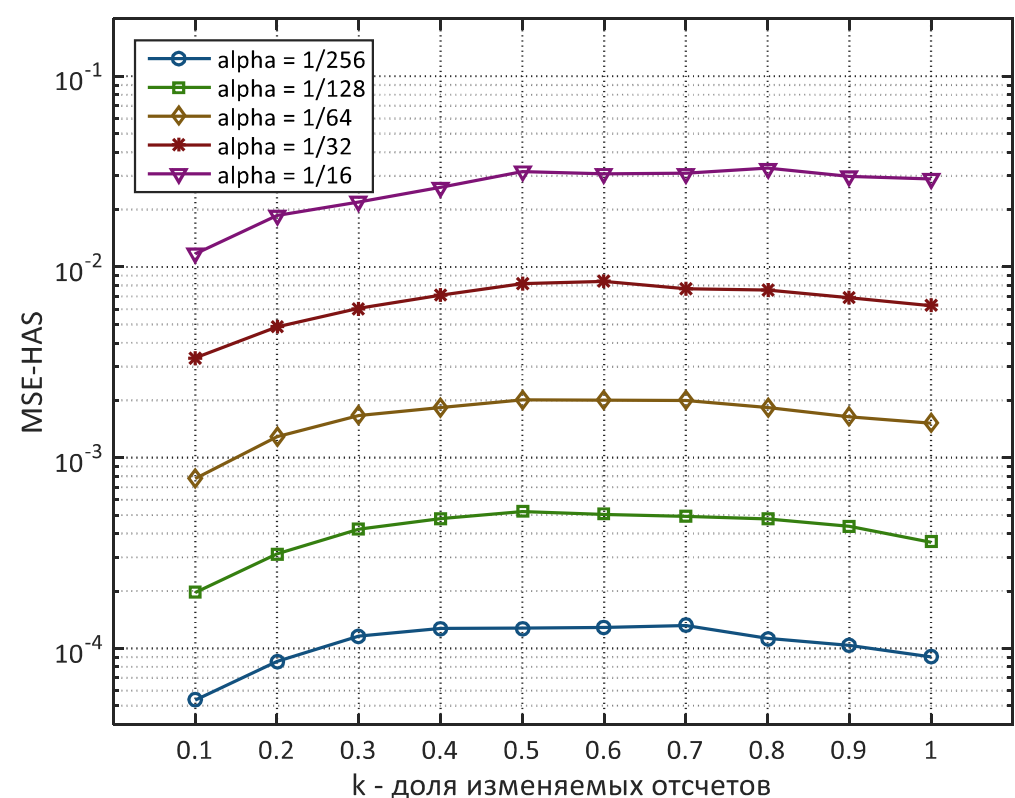
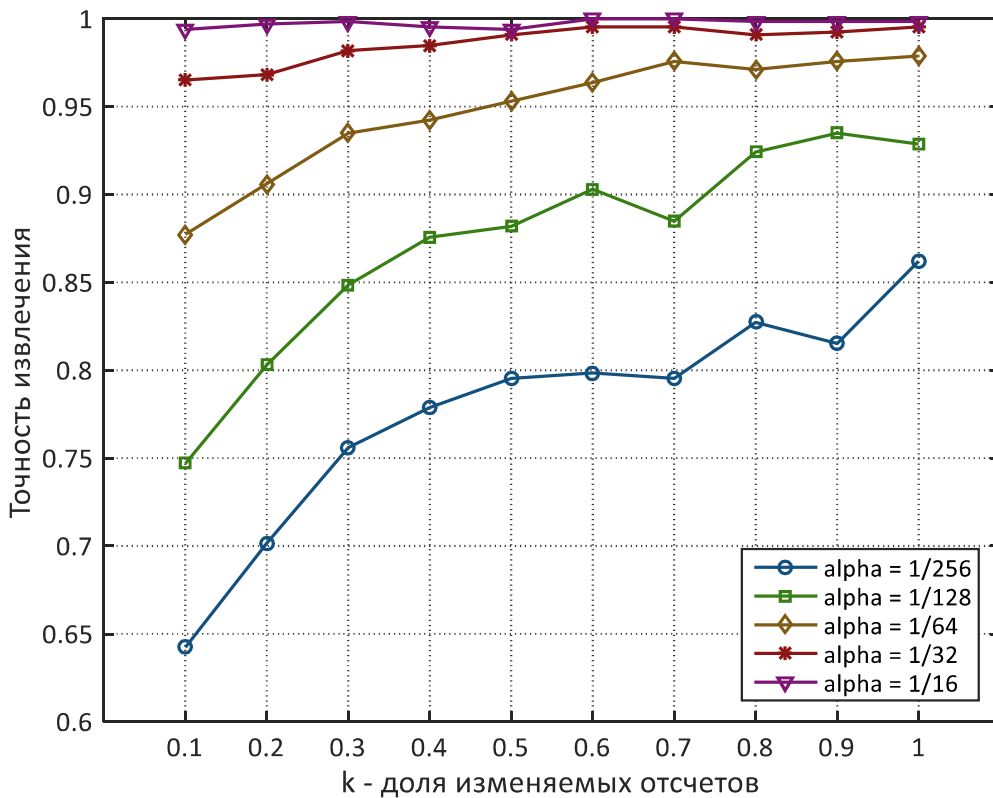
15 - старшая битовая плоскость

16 - знак (не используется)

Исследование метода "Patchwork"

25

Графики зависимости точности извлечения и критерия качества MSE-HAS от доли изменяемых отсчетов при разных значениях коэффициента альфа, определяющего величину изменения отсчетов. Объем встраивания фиксирован и равен 4,41 бит/с.



Исследование формато-зависимого метода

26

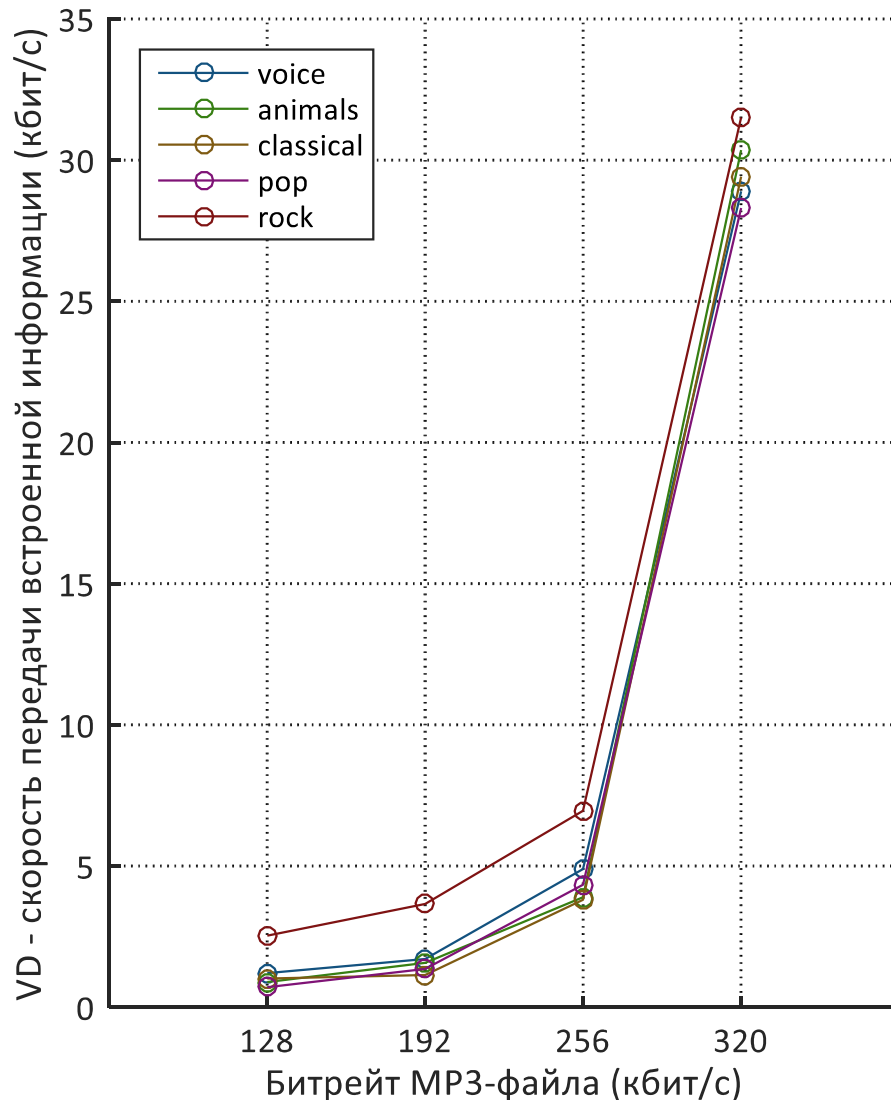


График зависимости скорости передачи встроенной информации от битрейта MP3-файла для разных категорий данных.

Скорость передачи встроенной информации для метода НЗБ: 44,1 кбит/с, для метода "Patchwork" меньше 12 бит/с.

Экспериментальное исследование. Выводы (применительно к защите MP3)

27

Сравнительная таблица для исследованных методов:

Методы	Преимущества	Недостатки	Применение
НЗБ	максимальный объем данных	низкая точность извлечения	стеганографический канал связи с применением помехоустойчивого кодирования
"Patchwork"	настраивается на выигрыш в точности и/или качестве аудио по сравнению с НЗБ	небольшой объем данных	защита авторских прав, защита от несанкционированного распространения
Формато-зависимый	неизменное качество аудио и абсолютная точность извлечения	легко разрушить и обнаружить встроенную информацию	защита от модификаций контейнера, стеганографический канал связи